



Original Article

Design and production of a learning tool for training opportunities related to mechanical ventilation simulator: Lung Box

Mohsen Foadoddini¹ Mansoor Soltani^{1*}

ABSTRACT

Background and Aims: Simulation-based medical education is effective for developing and improving critical care-related clinical skills training and reducing patient safety threats. The present study aimed to describe the technological approach of building and evaluating a prototype of a Lung Box (LB) mechanical ventilation simulator.

Materials and Methods: In this practical study with an analytical approach, the device's body, constructed from 5 mm plexiglass sheets, occupies a respiratory circuit, an airflow obstruction system, a pressure gauge manometer, a spring-loaded manual system to apply limits on the bag inflation range, a tidal volume measurement system, a respiratory trigger simulator system and a four-layer accordion-style plastic bag assembly that can be inflated and deflated with air. Additionally, there is a user manual storage box along with it.

Results: The design and drawing of the device's map were performed with AutoCAD software, and the parts were assembled after laser cutting. The device was connected to the ICU ventilator, and the respiratory mode of continuous forced ventilation was selected. Prior to ventilation, the tidal volumes were selected to be 0.60, 0.55, 0.50, 0.45, and 0.40 ml, and respiratory rates were set as 18, 15, 12, and 9 bpm. The simulation of the respiratory trigger was performed with different values of flow sensitivity (0.05-15 lit/min). There was no statistically significant difference ($P>0.05$) in terms of the reproducibility of the values of the selected variables for the test Lung (TL) with those chosen for LB.

Conclusion: In this technical study, a prototype educational mechanical ventilation simulator was developed and functionally tested using the concepts of fluid dynamics and respiratory physiology. Compared with conventional TL, this device is accurate and efficient enough.

Keywords: Lung, Mechanical ventilation, Simulator, Training



Citation: Mohsen Foadoddini, Mansoor Soltani. [Design, and production and assessment of a learning tool for training opportunities related to mechanical ventilation simulator training opportunities: Lung Box]. J Birjand Univ Med Sci. 2024; 31(1): 38-47. [Persian]

DOI <http://doi.org/10.32592/JBirjandUnivMedSci.31.1.38>

Received: April 6, 2024

Accepted: May 5, 2024

¹ Cardiovascular Diseases Research Center, Faculty of Medicine, Birjand University of Medical Sciences, Birjand, Iran

² Department of Anesthesia Nursing, Cardiovascular Diseases Research Center, Birjand University of Medical Sciences, Birjand, Iran

***Corresponding author:** Department of Anesthesia Nursing, Cardiovascular Diseases Research Center, Birjand University of Medical Sciences, Birjand, Iran

Tel: +989151640349

Fax: +985632381604

E-mail: mscn63@yahoo.com

طراحی و ساخت ابزار یادگیری برای فرصت‌های آموزشی تهويه مکانيکي: Lung Box

محسن فؤادالدینی^۱, منصور سلطانی^{۲*}

چکیده

زمینه و هدف: آموزش پزشکی مبتنی بر شبیه‌سازی برای توسعه و اصلاح آموزش مهارت‌های بالینی مرتبط با مراقبت‌های ویژه و همچنین کاهش تهدید ایمنی بیمار مؤثر است. هدف از این مطالعه بیان فرایند فن آورانه ساخت و نیز ارزیابی نمونه پروتوتاپ یک شبیه‌ساز تهويه مکانيکي (LB) را بیان می‌دارد.

روش تحقیق: در این مطالعه کاربردی با رویکرد تحلیلی، پیکره وسیله یک سازه از ورق‌های پلاکسی گلس ۵mm برش خورده است، که مدار تنفسی، مجموعه بگ پلاستیکی آکارڈونی چهارلایه با قابلیت پروخالی شونده از هوا، سامانه دستی فنری جهت اعمال محدودیت دامنه پوشوندگی بگ‌ها، مانومتر فشارسنج، سامانه اعمال انسداد در چریان هوا، سامانه شبیه‌ساز تریگر تنفسی، سامانه سنجش حجم جاری و جعبه حاوی شیوه‌نامه به کارگیری شبیه‌ساز بر روی آن قرار گرفته است.

یافته‌ها: طراحی و ترسیم نقشه با نرم‌افزار اتوکد اجرا و پس از برش لیزری، قطعات وصل شدند. دستگاه به ونتیلاتور ICU وصل شد و حالت تنفسی تهويه اجاری مداوم انتخاب گردید. حجم جاری در مقادیر ۶۰/۰، ۵۵/۰، ۵۰/۰، ۴۵/۰، ۴۰/۰ لیتر و تعداد تنفس ۱۵-lit/min (۱۵-۰/۰۵) صورت گرفت. تکرار پذیری مقادیر متغیرهای منتخب برای تست لانگ (TL) با (LB) با (P>۰/۰۵).

نتیجه‌گیری: در این پژوهش فن آورانه، با به کارگیری قوانین فیزیولوژی تنفسی و اصول دینامیک سیالات، نمونه پروتوتاپ شبیه‌ساز آموزشی تهويه مکانيکي ساخته و مورد آزمایش کارکردی قرار گرفت. این وسیله دارای کارایی و دقّت کافی در مقایسه با TL متعارف را دارد.

واژه‌های کلیدی: ریه، تهويه مکانيکي، شبیه‌ساز، آموزش

مجله علمی دانشگاه علوم پزشکی بیرجند. ۱۴۰۳؛ ۳۱(۱): ۴۷-۳۸.

دریافت: ۱۴۰۳/۰۲/۱۶ پذیرش: ۱۴۰۳/۰۱/۱۸

^۱ مرکز تحقیقات بیماری‌های قلب و عروق، گروه فیزیولوژی، دانشگاه علوم پزشکی بیرجند، بیرجند، ایران
^۲ کارشناس ارشد مراقبت‌های ویژه پرستاری، مرکز تحقیقات بیماری‌های قلب و عروق و گروه هوشیاری، دانشکده پیراپزشکی، دانشگاه علوم پزشکی بیرجند، بیرجند، ایران

*نویسنده مسئول: کارشناس ارشد مراقبت‌های ویژه پرستاری، مرکز تحقیقات بیماری‌های قلب و عروق، گروه هوشیاری، دانشکده پیراپزشکی، دانشگاه علوم پزشکی بیرجند، بیرجند، ایران
آدرس: بیرجند- دانشگاه علوم پزشکی بیرجند- دانشکده پیراپزشکی- گروه هوشیاری
تلفن: ۰۹۱۵۱۶۴۰۳۴۹ نامبر: ۰۵۶۳۲۳۸۱۶۰۴ پست الکترونیکی: soshia81msn@gmail.com

مقدمه

شبیه‌سازی است (۸). اصل "مخروط تجربه"^۸ ادگاردلن تأکید دارد در ابزارآلات آموزشی مانند شبیه‌ساز که تجارت یادگیری ملموس‌تر است، حواس بیشتری از قبیل دیدن، شنیدن، لمس کردن و احساس کردن درگیر فرایند یادگیری می‌شوند. شبیه‌سازی یک محیطی امن برای تفکر و درس‌گرفتن از اشتباها را بدون تهدید هویت حرفه‌ای، فراهم می‌کند (۹). در استفاده از روش آموزش پژوهشی مبتنی بر شبیه‌سازی، فرآگیر می‌تواند اشتباه کند و بدون ترس از آسیب‌رساندن به بیمار از آن درس بگیرد (۱۰) آموزش ونتیلاتور بر بالین بیمار در بخش آی‌سی‌پی سبب بیش‌باری حسی و تشدید سایکوز بیمار می‌شود. مریبان نیز دچار چالش وجدانی^۹ می‌شوند (۱۱).

از مهم‌ترین نیروهای محرك برای توسعه شبیه‌سازها در عرصه مراقبت‌های تنفسی، افزایش بروز بیماری‌های ریوی در بین جمعیت جهان است. سازمان همکاری اقتصادی و توسعه^{۱۰} گزارش داده است که ۶/۶٪ از جمعیت ۱۵ ساله و بالاتر اروپا از آسم رنج می‌برند آسم و نارسایی انسدادی مزمن ریه^{۱۱} تأثیر منفی بر توانایی یک فرد را انجام تنفس داشته و کیفیت زندگی فرد را کاهش می‌دهند (۱۲).

بر اساس نتایج پژوهش‌ها استفاده از آموزش پژوهشی مبتنی بر شبیه‌سازی می‌تواند اینمی بیمار را بهبود بخشیده و هزینه‌های مراقبت‌های بهداشتی را کاهش دهد (۸).

روش تحقیق

متداول‌تری فعالیت دانش‌پژوهی پیش‌رو مبتنی بر فرمت متعارف مقالاتی بین‌المللی تکنیکال (۱۳ و ۱۴) و شامل موارد زیر است:

مبانی دانشی انگیزشی

شبیه‌سازهای تنفسی شامل سه جزء اصلی بافت ریوی، ساختمان قفسه صدری و راههای هوایی متصل شونده به مدار تهویه مکانیکی می‌باشند. این اجزا از نظر شکل ظاهری به دو صورت نیم‌تنه یا تمام‌تنه انسان‌نما و یا به صورت باکس‌مانند طراحی و ساخته می‌شوند.

صلاحیت بالینی در مراقبت‌های مرتبط با تهویه مکانیکی^{۱۱} چالش‌برانگیز است، زیرا مستلزم ادغام دانش فیزیولوژیکی و فناوری با تفکر انتقادی می‌باشد (۱). درک تعامل بیمار- ونتیلاتور برای به حداقل رساندن خطرات و خطاهای درمان‌زاد مانند باروتوما، پنومونی مرتبط با ونتیلاتور^۲ و مرگ ضروری است. همچنین نظر به افزایش تعداد بیماران تحت تهویه مکانیکی که خارج از آی‌سی‌پی بسترهای می‌باشند، درمانگران شاغل در این بخش‌ها نیز نیاز به فرآگیری مهارت‌های ویژه در این زمینه دارند (۲).

آموزش پژوهشی مبتنی بر شبیه‌سازی^۳ یک یادگیری فعال با الزام فرآگیر به عملکردی معنادار است که سبب آموزش هدفمند و ایجاد تفکر نقادانه پیرامون فعالیت‌های صورت‌گرفته می‌شود (۳). این روش برای توسعه و اصلاح آموزش مهارت‌های بالینی مرتبط با مراقبت‌های ویژه، رویه‌های تهاجمی و مراقبت در شرایط بحرانی مؤثر است (۴). آموزش پژوهشی مبتنی بر شبیه‌سازی شامل فرآیند دستیابی به اهداف آموزشی از طریق یادگیری تجربی است. دستگاه‌های شبیه‌ساز در سطوح مختلف آموزش مراقبت‌های درمانی استفاده شده و صدور گواهینامه آموزش صورت می‌گیرد (۵).

شبیه‌سازهای پژوهشی را می‌توان به انواع همگردان محور^۴ و انواع رویدادمحور^۵ طبقه‌بندی نمود. فرهیختار^۶ کاتریزاسیون ادراری، سردیس مراقبت راه هوایی از شبیه‌سازهای همگردان محور هستند. شبیه‌سازهای رویداد محور شامل انواع بیماران استاندارد، بازیگران مراقبت‌ساز^۷ و شبیه‌سازهای مبتنی بر کامپیوتر می‌باشند (۶). فناوری‌های واقعیت ترکیبی (XR/ MR) مانند واقعیت مجازی (VR) یا واقعیت افزوده (AR) در شبیه‌سازی بالینی گسترش یافته‌اند که تا حدودی به دلیل تقاضا برای فناوری‌های یادگیری مبتنی بر راه دور ناشی از همه‌گیری COVID19 است (۷).

یکی از مهم‌ترین مراحل تدوین کوریکولوم درسی دانشجویان علوم پژوهشی، گنجایش و ارایه آموزش و یادگیری مبتنی بر

¹ Mechanical Ventilation (MV)

² VAP

³ Simulation Based Medical Education

⁴ Compiler Driven

⁵ Event Driven

⁶ Trainer

⁷ Care actors

⁸ Pyramid Learning

⁹ Moral Challenge

¹⁰ OECD

¹¹ COPD

آشکارسازی^۳ عینی تمامی قوانین فیزیکی سیالات مطروحة در مبحث فوق در قالب مدل پیشنهادی سیستم زیر ارایه گردیده است.

مدل پیشنهادی سیستم

پیکره وسیله متشکل از یک سازه از ورق های پلکسی گلس برش خورده است، که مدار تنفسی شامل بگ پلاستیکی آکادئونی چهار لایه به قطر ۲mm و ابعاد ۱۴۸×۲۱ cm^۴، سامانه دستی فنری اعمال محدودیت دامنه پوشوندگی بگ ها^۵، مانومتر فشار سنج، سامانه دستی اعمال انسداد جریان هوا^۶ سامانه دستی شبیه ساز تریگر تنفسی^۷ فنرها و واشرهای تعیق کننده مجموعه بگ ها، سامانه عقربه ای سنجش حجم جاری و باکس حاوی شیوه نامه به کارگیری این شبیه ساز بر روی آن همگذاری^۷ شده است. یازده فرست آموزشی مبتنی بر اصول فیزیولوژی تهیه و کار با ونتیلاتور در استفاده از این وسیله شبیه سازی شده است.

برگشت بگ تهیه (بازم) به حالت اولیه^۸ در این شبیه ساز پاسیو بوده و توسط سیستم فنری انجام می شود. بگ بین دو صفحه ثابت فوکانی و صفحه متحرک تحتانی قرار دارد. صفحه تحتانی در دو طرف توسط دو قطعه مثلثی و ۲ عدد بولبرنگ به بدنه اصلی جانبی وصل شده و با دامنه حرکات رفت و برگشتی ۳۰ درجه شناور است. فنرها توسط ۲ میله عرضی کشیده شده اند. میله دوم عرضی شناور بوده و توسط یک میله با قابلیت پیچش عمود بر آن به جلو و عقب حرکت داده می شود و با کشش فنرها مقاومت و کمپلیانس ریهها کم و زیاد می شود.

دو فنر استفاده شده در شبیه ساز موازی و به طول ۰/۰۸m می باشند. در یک آزمایشگاه استاندارد مکانیک با استفاده از فرمول هوک برای فنرهای همارز این شبیه ساز ضریب سختی یا ثابت فنر (K) برابر ۱۳۶۰ نیوتون متر تعیین گردید (۱۷).

مدل پایه تهیه ای^۹

چهار جنبه مهم مکانیک تنفسی شامل اتساع پذیری بافت ریه، اتساع پذیری دیواره قفسه سینه، تعداد تنفس و مقاومت راه هوایی می باشد. توصیف گرهای عملکرد تنفسی فوق با ایجاد فشار منفی در داخل ریهها و فضای پلور، اجازه می دهد هوا به داخل ریهها مکیده شود. همچنین کاهش حجم ریه باعث افزایش فشار درون ریهها و خروج هوا می شود. شکل گیری جریان گردابی و خاصیت الاستیک بافت ریه سبب ایجاد مقاومت در برابر عبور هوا می گردد. به طور کلی نیروهای الاستیک (F_{EL}) و مقاومت (F_R) سبب اتلاف نیروی پیشرونده جریان می شوند. خاصیت الاستیک، توجیه گر برگشت ریه متسعد شده به شکل اولیه پس از حذف نیروی رانشی هوا می باشد.

مقاومت راه هوایی در واقع تعییر در فشار ترانس پولمونر برای تولید جریان هوا از طریق مجاری هوایی بافت ریه است. بهیان ریاضی شامل تفاوت فشار راه هوایی در سطح دهان با آلوئول های ریه تقسیم بر میزان جریان می باشد. فشار ترانس پولمونر (P_L) یا (P_{TP}) یا فشار ترانس آلوئولار، اختلاف فشار بین فضای آلوئولی و فضای پلورال (P_{Pt}) است. این فشار برای حفظ گشودگی آلوئول ها مورد نیاز است. (۱۵):

$$PL = Palv - Ppl$$

الاستین با مؤلفه های فشار (P) و حجم (V) و رزیستانس نیز با فشار و جریان آن هوا مرتبط است

$$E = (\Delta \text{transthoracic pressure}) / \Delta \text{volume}$$

مقاومت نیز ارتباط غیر مستقیم با جریان دمی دارد. یعنی هرچه شدت جریان بیشتر شود، مقاومت کمتری نسبت به عبور آن وجود خواهد داشت.

$$R = (\Delta \text{Airway pressure}) / \Delta \text{flow}$$

اتساع پذیری ریه (C) ارتباط مستقیم با تغییرات حجم زمان دم دارد و بازه نرمال آن در فرد بالغ و سالم معادل ۰/۴ l/cmH2O می باشد (۱۶).

$$C = \Delta \text{volume} / (\Delta \text{transthoracic pressure})$$

³ Manifestation

⁴ Bags Inflation Restrictor

⁵ Airway Flow Obstructer

⁶ Respiration Trigger

⁷ Assemble

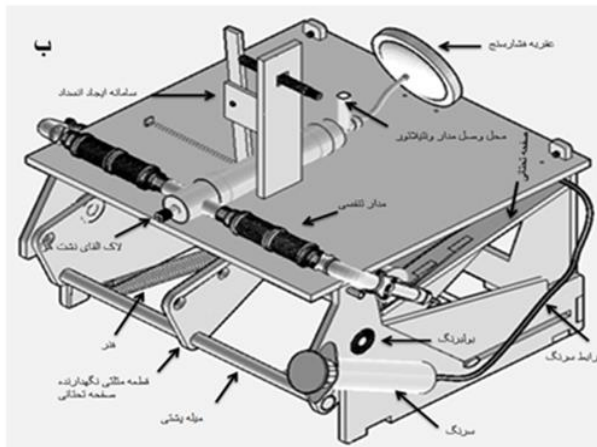
⁸ Recoiling

¹ Fundamental Model of ventilation

² Flow

بازدمی به درون بگها می شود. فلو سنسور ونتیلاتور این وضعیت را به کوشش تنفسی بیمار تعییر کرده و یک تنفس اشتراکی عرضه می گردد.

ستجش فشار مدار شامل یک مانومتر پنوماتیک عقریبه بی است که توسط بست پلاستیکی محکم به مدار تنفسی وصل و درزگیری شده است (شکل ۱).



شکل ۱- ب: نمای نیمرخ قدامی تصویر نرم افزاری اتوکد لانگ باکس

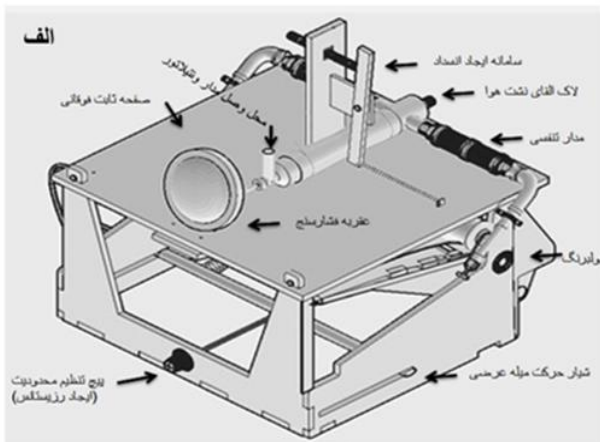
مقادیر ذکر شده صورت پذیرفت. شبیه سازی تریگر تنفسی با مقادیر متتنوع حساسیت جریانی^۲ (lit/min ۰/۰-۰/۵) صورت گرفت. مقادیر بیشینه فشار راه هوایی (Ppeak)، فشار میانگین راه هوایی (MV)، حجم دقیقه ای^۳ (PF)، بیشینه جریان^۴ (P main) بازدمی^۵ (EF) نمایشگری دیجیتال ونتیلاتور در دو مدل شبیه ساز ریه لانگ باکس و تست لانگ مقایسه گردیده و برای هر مقدار یادداشت شد.

داده ها با کمک نرم افزار SPSS نسخه ۲۵ (IBM Corporation, Armonk, NY) و توسط آزمون آماری t زوجی تجزیه و تحلیل شدند.

$$F = KX$$

$$34 = k \times 0.025 \rightarrow K = 34 \div 0.025 \rightarrow K = 1360 \text{ nm}$$

ایجاد تریگر توسط یک سامانه ساده شامل یک سوند فولی شماره ۱۶ وصل به یک سرنگ ۶ ml صورت می گیرد. با بادکردن بالون بین دو صفحه فاصله افتد و این فاصله باعث برگشت جریان



پس از تکمیل و ساخت نمونه پروتوتایپ با استفاده از ونتیلاتور ICU آزمون های نهایی بررسی کارآیی لانگ باکس^۱ صورت گرفت. برای تأیید اثربخشی رویکرد شبیه ساز، متغیرهای فیزیولوژی ریه طبیعی یک فرد ۷۵ کیلوگرمی با کمپلیانس و مقاومت نرمال انتخاب گردید و با دستگاه ونتیلاتور استاندارد ICU کالیبره گردید. شبیه ساز و تست لانگ بطور جداگانه و طی یک توالی زمانی به ونتیلاتور مورد نظر وصل شد (شکل ۲). قبل از اتصال به شبیه ساز و تست لانگ، آزمون کالیبراسیون ونتیلاتور انجام و با موفقیت پاس شد. مد تنفسی مورد استفاده VCV(CMV) انتخاب گردید. این مد تنفسی مبتنی بر حجم بیشترین مد تهویه مورد استفاده در ICU می باشد. در این مد علاوه بر تنفس های اجباری کنترله، بیمار فرصتی برای تنفس های کمکی بر اساس تنظیم حساسیت کوشش تنفسی را نیز دارد. حجم جاری (VT) نیز در مقادیر lit ۰/۰-۰/۴۵، ۰/۵۰، ۰/۵۵، ۰/۶۰ و ۰/۷۰ و تعداد تنفس (RR) ۹، ۱۲، ۱۵، ۱۸ bpm بازگشت و تهویه با

¹ Bench test

² Flow sensitivity

³ Minute Volume

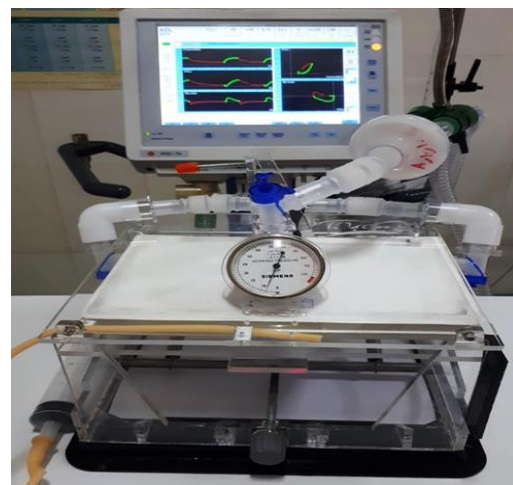
⁴ Peak Flow

⁵ ExpirationFlow

یافته‌ها

مقایسه مدل ریاضی و شبیه‌سازی تنفس لانگ باکس و تست لانگ برای سنجه‌های منتخب بسامد تنفسی، حجم و فشار راه هوایی در یک بازه زمانی ۴ دقیقه (کل سنجش‌ها ۲۰ بار) صورت پذیرفت. ساز و کار ونتیلاتور در مورد نسبت دم به بازدم برابر $R_{IE} = 1:2$ و PEEP ۴cmH₂O معادل شد (جدول ۱).

مقایسه تکرارپذیری متغیرهای منتخب بسامد تنفسی، حجم و فشار راه هوایی تست لانگ (روش متعارف) و شبیه‌ساز لانگ باکس نشان داد، ارایه پروفایل فشار، حجم و جریان در نمایشگر ونتیلاتور برای هر دو ابزار یکسان است (نمودارهای ۱ تا ۵) و از لحاظ آماری اختلاف معنی‌داری نداشت ($P > 0.05$).



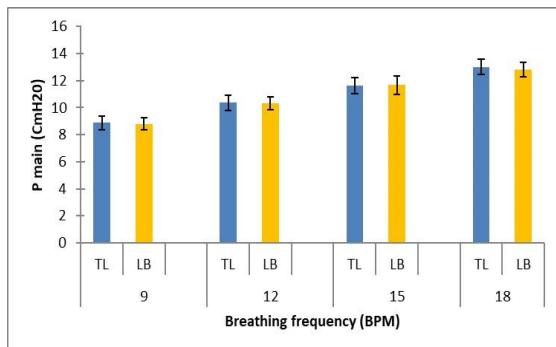
شکل ۲- تصویر واقعی از لانگ باکس متصل به ونتیلاتور ICU

جدول ۱- مقایسه تکرارپذیری متغیرهای منتخب بسامد تنفسی، حجم و فشار راه هوایی تست لانگ^۱ (TL) و لانگ باکس^۲ (LB) برای مد تهییه (VCV)CMV

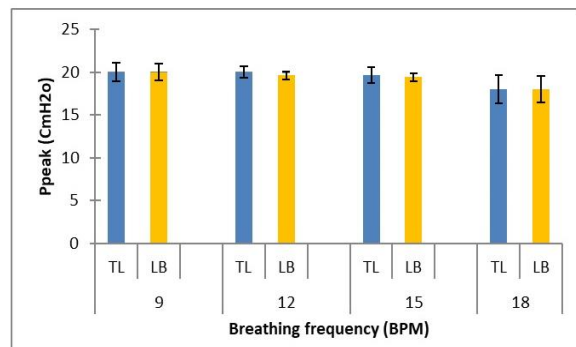
| تعداد تنفس (تعداد) | حجم مارکزیم (لیتر) | | فشار مارکزیم (سانتی متر آب) | | میانگین فشار (سانتی متر آب) | | حجم دقیقه‌ای (لیتر بر دقیقه) | | جریان مارکزیم (لیتر بر دقیقه) | | جریان بازدمی (لیتر بر دقیقه) | |
|--------------------|--------------------|----|-----------------------------|------|-----------------------------|--------|------------------------------|----|-------------------------------|------|------------------------------|----|
| | TL | | LB | | TL | | LB | | TL | | LB | |
| | TL | LB | TL | LB | TL | LB | TL | LB | TL | LB | TL | LB |
| ۹ | ۰/۴۰ | ۱۹ | ۱۹ | ۸/۳ | ۸/۲ | -۰/۳۰۰ | -۰/۳۰۳ | ۱۲ | ۱۳ | ۲/۹۰ | ۲/۹۲ | |
| | ۰/۴۵ | ۱۸ | ۱۹ | ۸/۵ | ۸/۶ | -۰/۳۳۰ | -۰/۳۲۸ | ۱۴ | ۱۴ | ۲/۹۷ | ۲/۹۵ | |
| | ۰/۵۰ | ۲۰ | ۲۰ | ۸/۸ | ۸/۷ | -۰/۳۵۳ | -۰/۳۵۱ | ۱۶ | ۱۵ | ۳/۳۳ | ۳/۳۴ | |
| | ۰/۵۵ | ۲۱ | ۲۱ | ۹/۳ | ۹/۲ | -۰/۴۱۹ | -۰/۴۱۶ | ۱۷ | ۱۷ | ۳/۷۱ | ۳/۷۲ | |
| | ۰/۶۰ | ۲۲ | ۲۱ | ۹/۵ | ۹/۳ | -۰/۴۵۵ | -۰/۴۵۳ | ۱۷ | ۱۸ | ۴/۱۶ | ۴/۱۰ | |
| ۱۲ | ۰/۴۰ | ۱۸ | ۱۸ | ۹/۷ | ۹/۷ | -۰/۲۹۰ | -۰/۲۸۹ | ۱۳ | ۱۲ | ۳/۴۴ | ۳/۴۶ | |
| | ۰/۴۵ | ۱۹ | ۱۹ | ۹/۹ | ۱۰ | -۰/۳۳۱ | -۰/۳۳۰ | ۱۴ | ۱۴ | ۳/۹۶ | ۳/۹۶ | |
| | ۰/۵۰ | ۲۱ | ۲۰ | ۱۰/۴ | ۱۰/۳ | -۰/۳۷۱ | -۰/۳۷۴ | ۱۴ | ۱۵ | ۴/۵۳ | ۴/۵۰ | |
| | ۰/۵۵ | ۲۰ | ۲۰ | ۱۰/۸ | ۱۰/۶ | -۰/۴۱۰ | -۰/۴۱۶ | ۱۸ | ۱۷ | ۴/۸۴ | ۴/۸۸ | |
| | ۰/۶۰ | ۲۲ | ۲۱ | ۱۱/۰ | ۱۰/۹ | -۰/۴۶۵ | -۰/۴۶۱ | ۱۸ | ۱۸ | ۵/۵۳ | ۵/۵۱ | |
| ۱۵ | ۰/۴۰ | ۱۷ | ۱۸ | ۱۰/۹ | ۱۰/۸ | -۰/۲۹۲ | -۰/۲۹۱ | ۱۳ | ۱۲ | ۴/۳۶ | ۴/۳۹ | |
| | ۰/۴۵ | ۱۸ | ۱۹ | ۱۱/۳ | ۱۱/۲ | -۰/۳۳۲ | -۰/۳۳۲ | ۱۳ | ۱۴ | ۵/۰۱ | ۴/۹۹ | |
| | ۰/۵۰ | ۲۱ | ۱۹ | ۱۱/۴ | ۱۱/۷ | -۰/۳۸۱ | -۰/۳۷۹ | ۱۷ | ۱۵ | ۵/۵۰ | ۵/۶۵ | |
| | ۰/۵۵ | ۲۲ | ۲۰ | ۱۲/۰ | ۱۲/۱ | -۰/۴۲۰ | -۰/۴۲۲ | ۱۵ | ۱۷ | ۶/۱۸ | ۶/۲۹ | |
| | ۰/۶۰ | ۲۰ | ۲۱ | ۱۲/۴ | ۱۲/۵ | -۰/۴۵۹ | -۰/۴۶۴ | ۱۸ | ۱۸ | ۶/۹۷ | ۶/۹۵ | |
| ۱۸ | ۰/۴۰ | ۱۷ | ۱۸ | ۱۲/۵ | ۱۲/۱ | -۰/۲۹۶ | -۰/۲۹۳ | ۱۳ | ۱۲ | ۵/۲۰ | ۵/۲۵ | |
| | ۰/۴۵ | ۱۳ | ۱۲ | ۱۲/۳ | ۱۲/۶ | -۰/۳۳۳ | -۰/۳۳۴ | ۱۵ | ۱۴ | ۶/۰۲ | ۶/۰۲ | |
| | ۰/۵۰ | ۱۷ | ۱۹ | ۱۳/۲ | ۱۳/۰ | -۰/۳۷۷ | -۰/۳۷۹ | ۱۲ | ۱۵ | ۶/۷۸ | ۶/۸۰ | |
| | ۰/۵۵ | ۲۲ | ۲۰ | ۱۳/۴ | ۱۳/۲ | -۰/۴۲۳ | -۰/۴۲۱ | ۱۵ | ۱۷ | ۷/۵۳ | ۷/۵۸ | |
| | ۰/۶۰ | ۲۱ | ۲۱ | ۱۳/۶ | ۱۳/۴ | -۰/۴۷۰ | -۰/۴۶۸ | ۲۰ | ۱۸ | ۸/۳۳ | ۸/۳۵ | |

¹ Test Lung

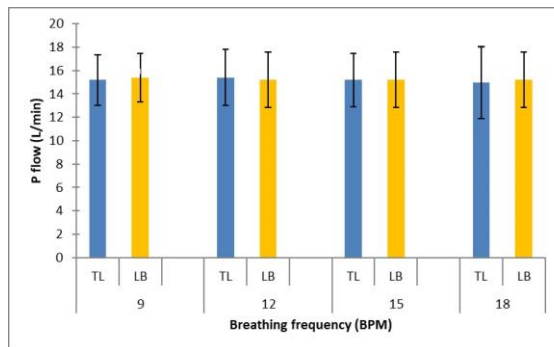
² Lung Box



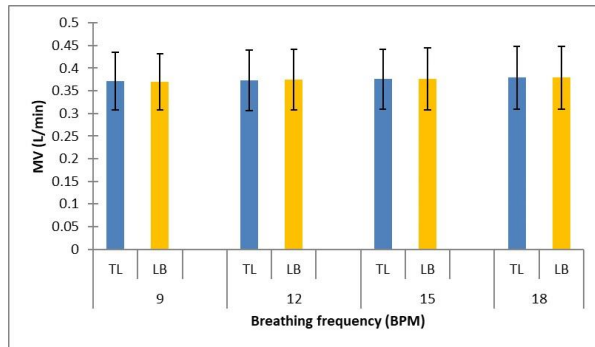
نمودار ۲- مقایسه شاخص P_{main} در دو مدل TL (ستون آبی) و LB (ستون زرد) با ریت های تنفسی (RR) مختلف هیچ اختلاف آماری معنی دار بین گروه ها مشاهده نشد.



نمودار ۱- مقایسه شاخص P_{peak} در دو مدل TL (ستون آبی) و LB (ستون زرد) با ریت های تنفسی (RR) مختلف هیچ اختلاف آماری معنی دار بین گروه ها مشاهده نشد.



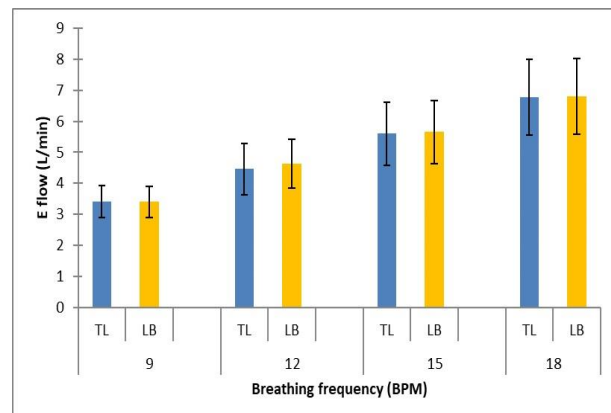
نمودار ۴- مقایسه شاخص جریان حداکثری (P flow) در دو مدل TL (ستون آبی) و LB (ستون زرد) با ریت های تنفسی (RR) مختلف هیچ اختلاف آماری معنی دار بین گروه ها مشاهده نشد.



نمودار ۳- مقایسه شاخص حجم جاری (MV) در دو مدل TL (ستون آبی) و LB (ستون زرد) با ریت های تنفسی (RR) مختلف هیچ اختلاف آماری معنی دار بین گروه ها مشاهده نشد.

بحث

مزیت عمده این شبیه ساز، ارایه روشی ساده با قابلیت تعقیب هم زمان محاسبات ریاضی کمپلیانس، مقاومت، مؤلفه های ترکیبی و چند متغیری مانند حجم دقیقه ای دمی و مقایسه آن با داده نمایی صفحه نمایشگر و نتیلا تور است. این محاسبات هم زمان موجبات خلق فرصت های آموزشی تا سطح پنجم مدل آموزشی توکسونومی اصلاح شده بلوم^۱ در قلمرو آموزش تهویه مکانیکی می شود. علاوه بر موارد مطرح شده، سامانه اعمال انسداد راه هوایی یک گام ابتکاری بشمار می رود. یک مفهوم بین رشته ای^۲ شامل دانش فیزیولوژی،



نمودار ۵- مقایسه شاخص جریان بازدمی (E flow) در دو مدل TL (ستون آبی) و LB (ستون زرد) با ریت های تنفسی (RR) مختلف هیچ اختلاف آماری معنی دار بین گروه ها مشاهده نشد.

¹ RBT Educational Level

² Interdisciplinary

همچنین با استفاده از یک شبیه‌ساز کامپیوتروی پژوهشگر ساخته، بررسی و مقایسه اثربخشی آموزش مبتنی بر شبیه‌ساز با روش آموزش سنتی با حجم نمونه ۴۱ فراگیر توسط پژوهشگران انجام پذیرفت. از زبان برنامه‌نویسی C Sharp برای طراحی شبیه‌ساز استفاده و در پلتفرم ویندوز، پنل اصلی شبیه سازی قابل نمایش بود. جریان دمی، فشارراه هوایی و اسکالرهای حجمی، سوئیچها و کلیدهای دیجیتالی برای کنترل و تنظیم متغیرهای تهویه در دسترس بودند. فراگیران قادر بودند طبق مقادیر اعلام شده در ستاریوی بالینی، با استفاده از ماوس یا صفحه کلید سازوکار و نتیلاتور مجازی را انجام دهند. پس از اتمام آموزش عملکرد مراقبتی هر دو گروه فراگیر به مدت ۶ هفته در بخش بالینی مورد رصد و ارزیابی قرار گرفت. نتایج تجزیه و تحلیل مطالعه نشان داد که دانشآموزان با رتبه برتر که موضوع بالینی را از طریق شبیه‌سازی یاد گرفتند، به طور معنی‌داری نمرات بالاتری ($133/9 \pm 6$) از دانشآموزان روش یادگیری سخنرانی ($106/1 \pm 6$) کسب کردند (۳). از این مقاله بیشتر برای جنبه‌های فن‌آورانه آن استفاده شد. نتایجی که به عنوان اثربخشی آموزشی در این مقاله بیان شده است قابل قیاس با کار ما نیست، گرچه در فعالیت‌های آتی اثربخشی آموزشی شبیه‌ساز لانگ‌باکس مورد استفاده قرار خواهد گرفت.

نتیجه‌گیری

با بررسی و تجزیه تحلیل آماری نتایج آزمون کارایی طرح فن‌آورانه پیش‌رو و مقایسه آن با داده حاصل از به کارگیری تست لانگ، مشخص گردید، این وسیله برای شبیه‌سازی فرصت‌های آموزشی مبحث تهویه مکانیکی و مبانی فیزیولوژی تنفس مناسب است. در تداوم و تکمیل فعالیت دانش‌پژوهی پیش‌رو، سنجش میزان رضایتمندی دانشجویان علوم پزشکی (پرستاری، پزشکی و هوشیار) و شان مرتبی صورت خواهد گرفت. همچنین تأثیر طراحی و ساخت این گونه وسایل آموزشی بر ارتقای فعالیت‌های دانشبنیانی، تجاری‌سازی ایده و خلق ثروت بررسی خواهد شد.

فیزیک و آموزش پزشکی در این دانش‌پژوهی فن‌آورانه بروز و ثبوت پیدا نمود. همچنین تحقیق بیومکانیکی سبب خلق ایده جدید برای تولید مدل ریه با قابلیت شبیه‌سازی ویژگی‌های فیزیولوژیکی نرمال و غیرنرمال گردید.

حقیقین یک شبیه‌ساز ریوی تحت عنوان Xpulm را طراحی و عرضه نمودند. مواد این شبیه‌ساز از پلیمر و اجزای ارگانیک ریوی (خوک) ساخته شد. ریت تنفسی $10-18 \text{ bpm}$ و حجم جاری ml $400-600$ شبیه‌سازی شد. تکرار پذیری^۱ بالا در ارایه جریان دمی تنظیم شده و ویژگی‌های فشار راه هوایی با ارزیابی چرخه‌های تنفسی ($N=3273$) در یک بازه استاندارد حاصل گردید (۱۴). نمونه فوق در مقایسه با نمونه ما گرچه به دلیل وجود قطعه الکترومکانیکی پیشرفت‌تر است، اما به دلیل فرایند پیچیده مهندسی بافت اجزای ارگانیک پرهزینه‌تر و دارای پایایی بافتی کمتری است. انجام آزمون نهایی کارآیی کارآیی مانند پژوهش پیش‌رو با یک مد تهویه صورت گرفته است. و قابلیت شبیه‌سازی تریگر تنفسی را ندارد.

طراحی و ساخت فانتوم ریه برای بررسی حرکت تومور در زمان تنفس و حین پرتودرمانی توسط حقیقین انجام شد. بافت ریه مصنوعی از جنس سیلیکون و بافت دیواره قفسه صدری از جنس پلکسی‌گلاس و به صورت دوجداره ساخته شد. برای شبیه‌سازی عمل دم و بازدم نیز از پمپ پیستونی استفاده شد. قسمت‌های مکانیکی و الکتریکی به فانتوم اضافه شدن؛ به طوری که هر نیم ثانیه یک بار فانتوم متوقف و تصویربرداری CTScan و MRI انجام شد. این فانتوم سیکل تنفسی ریه و جابجایی تومور را به خوبی شبیه‌سازی کرده و مشخص گردید فانتوم مدل سیلیکونی با ۷ تومور شبیه‌سازی شده با دوا بر توالی درون بافت ریه، قابلیت ارزیابی حرکت ریه حین پرتودرمانی را دارد (۱۸). این شبیه‌ساز از نظر شبیه‌سازی ظاهری به نسبت کار ما، به ساختار آنatomی ریه شبیه‌تر است و احتمالاً وضعیت ریه حین دم و بازدم را بهتر نشان می‌دهد. اما گام ابتکاری و تعدد مفاهیم شبیه‌سازی شده در شبیه‌ساز ما بیشتر است، گرچه از نظر ماهیت مفاد شبیه‌سازی با کار ما فرق دارد و اهداف متفاوتی را تعقیب می‌کند.

^۱ Reproducibility

حمایت مالی

این پژوهش با حمایت مالی معاونت تحقیقات و فنآوری دانشگاه انجام شده است.

مشارکت نویسندها

تهیه و اجرای پروپوزال و نگارش مقاله توسط منصور سلطانی مشاوره علمی و آماری طرح، آنالیز داده و ویراستاری مقاله توسط دکتر محسن فؤادالدینی

تقدیر و تشکر

این مقاله حاصل یک پژوهش پژوهشی فناورانه تحت عنوان طراحی و ساخت ابزار یادگیری برای فرصت‌های آموزشی تهویه مکانیکی (لانگ باکس) با کد پروپوزال فنآورانه ۶۴۸۹ می‌باشد که با حمایت معاونت تحقیقات و فنآوری سلامت دانشگاه علوم پزشکی بیرون‌جند اجرا شده است.

نویسندها مقاله از گروه فیزیک دانشکده پرایپزشکی در خصوص مشاوره‌های فنی مرتبط با طراحی سیمولاتور و نگارش فرمول‌های مکانیک به غایت سپاس‌گزارند.

تضاد منافع

نویسندها مقاله اعلام می‌دارند که هیچ گونه تضاد منافعی در پژوهش حاضر وجود ندارد.

ملاحظات اخلاقی

مطالعه حاضر دارای تأییدیه شورای فنآوری دانشگاه برای وسیله آموزشی LungBox با کد اخلاقی IR.BUMS.REC.1402.470 می‌باشد.

منابع:

- 1- Pervaiz A, DaoudA, Alchakaki A, GantiSh, Venkat D, Lee S, et al. A Pilot Standardized Simulation-Based Mechanical Ventilation Curriculum Targeting Pulmonary and Medicine Fellows Critical Care Medicine and Critical Care. Avicenna J Med 2023; 13 (3): 176–81. DOI: [10.1055/s-0043-1773792](https://doi.org/10.1055/s-0043-1773792)
- 2- Tallo FS, Vendrame LS, Baitello AL. Comparison of three methods for teaching mechanical ventilation in an emergency setting to sixth-year medical students: a randomized trial. Rev Assoc Med Bras.2020; 66(10): 1409-13. DOI: [10.1590/1806-9282.66.10.1409](https://doi.org/10.1590/1806-9282.66.10.1409)
- 3- Keegan RD, Brown GR, Gordon A. Use of a simulation of the ventilator-patient interaction as an active learning exercise: comparison with traditional lecture. J Vet Med Educ. 2012; 39(4): 359-67. DOI: [10.3138/jvme.0612.061R](https://doi.org/10.3138/jvme.0612.061R). PMID: 23187028
- 4- Yee J, Fuenning C, George R, Hejal R, Haines N, Dunn D, et al. Mechanical Ventilation Boot Camp: A Simulation-Based Pilot Study. Crit Care Res Pract. 2016; 2016: 4670672. DOI: [10.1155/2016/4670672](https://doi.org/10.1155/2016/4670672). Epub 2016 Feb 1. PMID: 26949545; PMCID: PMC4753319
- 5- Ayaz O, Ismail FW. Healthcare Simulation: A Key to the Future of Medical Education - A Review. Adv Med Educ Pract. 2022; 13: 301-8. DOI: [10.2147/AMEP.S353777](https://doi.org/10.2147/AMEP.S353777). PMID: 35411198; PMCID: PMC8994530
- 6- Alsuwaidi L, Kristensen J, Hk A, Al Hejaly S. Use of simulation in teaching haematological aspects to undergraduate medical students improves student's knowledge related to the taught theoretical underpinnings. BMC Med Educ 2021; 21(1): 271. DOI: [10.1186/s12909-021-02709-5](https://doi.org/10.1186/s12909-021-02709-5)
- 7- Ahmady S, Kallestrup P, Sadoughi MM, Katibeh M, Kalantarion M, Amini M, et al. Distance learning strategies in medical education during COVID-19: A systematic review. J Educ Health Promot. 2021; 10: 421. DOI: [10.4103/jehp.jehp_318_21](https://doi.org/10.4103/jehp.jehp_318_21). PMID: 35071627; PMCID: PMC8719547.
- 8- Al-Elq AH. Simulation-based medical teaching and learning. J Family Community Med. 2010; 17(1): 35-40. DOI: [10.4103/1319-1683.68787](https://doi.org/10.4103/1319-1683.68787). PMID: 22022669; PMCID: PMC3195067

- 9- So HY, Chen PP, Wong GKC, Chan TTN. Simulation in medical education. *J R Coll Physicians Edinb.* 2019; 49(1): 52-7. DOI: [10.4997/JRCPE.2019.112](https://doi.org/10.4997/JRCPE.2019.112). PMID: 30838994
- 10- Palominos E, Levett-Jones T, Power T, Martinez-Maldonado R. 'We learn from our mistakes': nursing students' perceptions of a productive failure simulation. *Collegian*, 29(5), 708-12. DOI: [10.1016/j.colegn.2022.02.006](https://doi.org/10.1016/j.colegn.2022.02.006)
- 11- Ruppel H, Funk M, Whittemore R, Wung SF, Bonafide CP, Powell Kennedy H. Critical care nurses' clinical reasoning about physiologic monitor alarm customisation: An interpretive descriptive study. *J Clin Nurs.* 2019; 28(15-16): 3033-41. DOI: [10.1111/jocn.14866](https://doi.org/10.1111/jocn.14866). Epub 2019 Apr 22. PMID: 30938915.
- 12- Carinci F, Van Gool K, Mainz J, Veillard J, Pichora EC, Januel JM, et al. Towards actionable international comparisons of health system performance: expert revision of the OECD framework and quality indicators. *Int J Qual Health Care.* 2015; 27(2): 137-46. DOI: [10.1093/intqhc/mzv004](https://doi.org/10.1093/intqhc/mzv004)
- 13- Tran AS, Thinh Ngo HQ, Dong VK, Vo AH. Design, Control, Modeling, and Simulation of Mechanical Ventilator for Respiratory Support. *Math Prob Eng.* 2021: 2499804. <https://doi.org/10.1155/2021/2499804>
- 14- Pasteka R, Forjan M, Sauermann S, Drauschke A. Electro-mechanical Lung Simulator Using Polymer and Organic Human Lung Equivalents for Realistic Breathing Simulation. *Sci Rep.* 2019; 9(1): 19778. PMID: [31874980](https://doi.org/10.1038/s41598-019-56176-6); PMCID: [PMC6930199](https://doi.org/PMC6930199). DOI: [10.1038/s41598-019-56176-6](https://doi.org/10.1038/s41598-019-56176-6).
- 15- Mittman C, Edelman NH, Norris AH, Shock NW. Relationship between chest wall and pulmonary compliance and age. *J Appl Physiol.* 1965; 20(6): 1211-6. DOI: [10.1152/jappl.1965.20.6.1211](https://doi.org/10.1152/jappl.1965.20.6.1211)
- 16- Carvalho AR, Zin WA. Respiratory system dynamical mechanical properties: modeling in time and frequency domain. *Biophys Rev.* 2011; 3(2): 71. DOI: [10.1007/s12551-011-0048-5](https://doi.org/10.1007/s12551-011-0048-5). Epub 2011 May 19. PMID: [28510005](https://doi.org/28510005); PMCID: [PMC5418399](https://doi.org/PMC5418399).
- 17- Shi L, Herrmann J, Bou Jawde S, Bates JH, Nia HT, Suki B. Modeling the influence of gravity and the mechanical properties of elastin and collagen fibers on alveolar and lung pressure-volume curves. *Sci Rep.* 2022; 12(1), 12280. DOI: [10.1038/s41598-022-16650-0](https://doi.org/10.1038/s41598-022-16650-0)
- 18- Akmali Z, Shahbazi-Gahrouei D, Mosleh-Shirazi M. A, Baradaran-Ghahfarokhi M, Fallahian N, Sherkat S. Design and Fabrication of a Four-Dimensional Respiratory Phantom for Studying Tumor Movement in Radiotherapy with Magnetic Resonance Imaging. *Iranian Journal of Medical Physics*, 2018; 15(Special Issue-12th. Iranian Congress of Medical Physics): 252-2. DOI: [10.22038/ijmp.2018.12888](https://doi.org/10.22038/ijmp.2018.12888)